## 论著

# 泪道阻塞性疾病患者的CT造影征象表现及价值分析

陕西省榆林市第一医院眼科 (陕西 榆林 719000)

李依焕

【摘要】目的 探讨泪道阻塞性疾病患者 CT造影征象表现及价值。方法 选取因溢 泪入院就诊的患者32例(64眼)作为研究 对象,均行CT泪道造影检查。结果 本组 32例64只眼中, 21只眼正常(32.81%), 43只眼存在阻塞性泪道疾病(67.19%), 其中6.98%泪总管阻塞,11.63%泪小管阻 寒,81.39%鼻内管阻塞。35只眼鼻内管阻 塞中, 2.86%复发性泪囊炎, 88.57%慢性 内囊炎, 8.57%泪囊囊肿。CT矢状位图像 上, 42.86%鼻内管上段阻塞, 40.0%鼻内 管中段阻塞, 17.14%眼下段阻塞。21只眼 正常, 注入造影剂后泪小管、泪囊等均显 影,且鼻腔内有造影剂;5只眼泪小管阻 塞表现为下泪小管内处造影中断,泪囊、 鼻内管内未见造影剂显影; 3只眼泪总管 显示结膜囊、泪小管可见显影,而泪囊、 鼻内管内未见显影; 35只眼鼻内管阻塞表 现为泪小管、泪囊内可见显影, 鼻内管造 影中断。慢性内囊炎斜矢状位、轴位、斜 冠状位的泪囊近似面积显著高于正常眼, 差异显著(P<0.05)。 结论 CT泪道造影可 作为临床诊断泪道阻塞性疾病的重要影像 学方法之一。

【关键词】泪道阻塞; 泪囊; CT泪道造 影; 征象

【中图分类号】R777.2+3

【文献标识码】A

**DOI:** 10.3969/j.issn.1672-5131.2015.10.010

通讯作者: 李依焕

## Analysis of CT Imaging Signs and Value in Patients with Lacrimal Duct Obstruction Diseases

Li Yi-huan. Dipartment of Ophthalmology, The First Hospital of Yulin City, Yulin 719000

[Abstract] Objective To investigate CT imaging signs and value in patients with lacrimal duct obstruction diseases. Methods 32 patients (64 eyes) who were treated in the hospital because of epiphora were selected as the research objects. All the patients underwent CT angiography of lacrimal duct. Results Among the 32 cases (64 eyes), 21 eyes were normal (32.81%) and 43 eyes with obstructive disease of the lacrimal duct (67.19%), including 6.98% of general lacrimal duct obstruction, 11.63% of lacrimal canaliculus obstruction and 81.39% of nasal inner tube obstruction. Among the 35 eyes with nasal inner tube obstruction, there were 2.86% with recurrent dacryocystitis, 88.57% with chronic dacryocystitis and 8.57% with dacryocyst cyst. CT sagittal images showed that there were 42.86% of the nasal obstruction in the upper tube, 40.0% in middle section nd 17.14% in the hypomere of eyes. 21 eyes were normal. After injection of contrast media, the lacrimal canaliculus and lacrimal sac were developed and there was contrast agent in the nasal cavity. 5 eyes with lacrimal canaliculus obstruction manifested as imaging interruption in lower lacrimal canaliculus and there was no contrast agent in lacrimal sac and nasal cavity. The general lacrimal ducts of 3 eyes indicated development in conjunctival sac and lacrimal canaliculus and there was no development in lacrimal duct and nasal inner tube. 35 eyes with nasal inner tube obstruction manifested as development in lacrimal canaliculus and lacrimal sac and imaging interruption in nasal inner tube. The lacrimal sac approximate areas of oblique sagittal, axial and oblique coronal chronic dacryocystitis were significantly higher than those of normal eyes and the difference was significant (P < 0.05). Conclusion CT dacryocystography can be used as one of the important imaging methods for clinical diagnosis of lacrimal duct obstruction diseases.

[Key words] Lacrimal Duct Obstruction; Lacrimal Sac; CT Dacryocystography; Signs

泪道阻塞性疾病是眼科常见疾病之一,临床常为表现为溢泪<sup>[1-2]</sup>。若未及时行针对性治疗,可能发展为角膜溃疡、眼内炎、穿孔等,甚至视力下降,严重影响着人们的生活质量。泪道阻塞性疾病可发生于泪道任何部位,明确泪道阻塞部位,选择合适手术方案治疗,有利于提高疗效。以往临床常采用泪道冲洗、泪道探针探测等方式探查泪道阻塞部位。然而,泪道冲洗缺乏客观评价依据,泪道探针探测期间可能诱发不必要的损伤,在临床应用中存在局限性。因此,选择无创、准确的影像学检查方式指导手术仍是临床关注重点。近年来,CT泪道造影逐渐应用于泪道疾病检查中,但国内关于CT泪道造影诊断泪道阻塞性疾病的报道还相对较少。对此,本文主要探讨了32例(64眼)溢泪患者CT造影结果及造影征象表现,探讨其临床应用价值,现报道如下。

### 1 资料与方法

**1.1** 一**般资料** 选取2012年12月~2014年12月因溢泪入医院就诊的患者32例(64眼)作为研究对象,均为双眼溢泪。其中男性11例,女

性21例,年龄为25岁至59岁,平均(41.06±2.58)岁,溢泪病史为6个月至15年,平均(5.26±1.68)年。排除造影剂过敏患者。

1.2 检查方法 扫描仪器为 TOSHIBS Aguilion 64排螺旋CT 机。检查前先行泪道冲洗,清理 泪道内分泌物。辅助患者于CT床 上取仰卧位, 双眼滴入爱尔卡因 滴眼液后,以泛影葡胺注射作为 造影剂,经泪小点注射1~2m1, 嘱咐患者勿移动头部。即刻行CT 扫描,扫描范围为眶上缘至硬腭 部位,扫描期间通过电流/电压 为100mA/120kV, 层厚为2mm。 骨窗和软组织窗宽/窗位分别为 2000/450、200/40。扫描结束后 取生理盐水冲泪道, 询问患者是 否存在不适感。将扫描图像传输 至PACS工作站, 从轴位、矢状位 和冠状位观察泪道及周围情况, 明确泪道阻塞情况及CT造影征 象。采用多平面重组法行图像重 建,测量泪囊各径线长度。

1.3 统计学方法 将文中相关数据输入至统计学软件 SPSS19.0中进行分析,计量资料采用 $(\bar{x} \pm s)$ 表示,t检验,P < 0.05提示有统计学意义。

### 2 结 果

### 2.1 CT泪道造影检查结

果 本组32例64只眼中,21只眼正常(32.81%),43只眼存在泪道阻塞性疾病(67.19%),其中3只眼泪总管阻塞(6.98%),5只眼泪小管阻塞(11.63%),35只眼鼻内管阻塞(81.39%);35只眼鼻内管阻塞中,1只眼复发性泪囊炎(2.86%),31例慢性内囊炎(88.57%),3例泪囊囊肿(8.57%)。CT矢状位图像上,将鼻内管阻塞分为上段、中段、下段三个部分,其中15只眼鼻内管上

段阻塞(42.86%), 14只眼鼻内管中段阻塞(40.0%), 6只眼下段阻塞(17.14%)。

2.2 CT泪道造影征象 21只眼正常,注入造影剂后经泪小管、泪囊等均显影,且鼻腔内有造影剂(见图1);5只眼泪小管阻塞CT泪道造影征象表现为下泪小管处造影中断,泪囊、鼻内管内未见造影剂显影(见图2-3);3只眼泪总管阻塞CT泪道造影征象显示结膜囊、泪小管可见显影,而泪囊、鼻内管内未见显影;35只眼鼻内管阻塞表现为泪小管、泪囊内可见显影,鼻内管造影中断(见图4-6)。

2.3 泪囊各层面近似面积 因眼泪总管阻塞、眼泪小管阻塞 发生例数较少,不纳入本研究, 仅以慢性泪囊炎与正常眼对比; 慢性内囊炎斜矢状位、轴位、斜 冠状位的泪囊近似面积显著高于 正常眼,差异显著(P<0.05),见 表1。

以往临床常行泪道冲洗和探 针探测,但均存在局限性。X线是 临床诊断泪道疾病常用的影响学 方式,但造影图像存在重叠,无 法完全清楚显示泪道解剖结构。 随着CT影像学技术的发展, CT泪 道造影逐渐应用于泪道疾病中, 该影像学方式具有无创、分辨率 高的特点,能够清楚显示泪道的 解剖结构<sup>[6]</sup>。CT泪道是造影技术 是CT、泪道造影基础上发展起来 的一种影像学技术, 其中CT可通 过图像后处理技术(如: 容积重建 技术、容积重建技术)立体显示 组织结构及与周围组织的关系, 便于测量各种数据,为疾病诊断 和治疗提供客观资料,但国内关 于CT后处理技术用于泪囊中研究 还相对较少,有待深入研究[7]。 泪道造影能够显示出泪道阻塞部 位,可指导临床手术。

本组研究中,32例64只眼行 CT造影征象,发现21只眼正常, 注入造影剂后经泪小管、泪囊等

表1 不同层面慢性泪囊炎与正常眼泪囊近似面积对比 (mm²)

the transfer of the transfer o				
组别	例数	斜矢状位	轴位	斜冠状位
慢性内囊炎	31	75. 69 ± 13. 52	30. 26 ± 8. 29	59. 22 ± 11. 71
正常眼	21	63. $58 \pm 10.29$	23. $98 \pm 6.52$	$47.69 \pm 8.84$
t	-	3.48	2.91	3.83
P	_	P<0.05	P<0.05	P<0.05

### 3 讨 论

泪道阻塞性疾病是临床常见疾病,若未及时治疗,可能诱发慢性内囊炎、结膜炎等,甚至对视力造成不良影响。阻塞可发生于泪道任何部位,其中以鼻内管阻塞最为常见<sup>[4]</sup>。本组研究中,3只眼泪总管阻塞(6.98%),5只眼泪小管阻塞(11.63%),35只眼鼻内管阻塞(81.39%),与国内研究一致。有研究表明,术前明确阻塞部位,对临床选择合适治疗方案具有指导意义<sup>[5]</sup>。

均可见显影,且鼻腔内有造影剂,而出现阻塞性疾病眼均存在显影中断现象,其中5只眼泪小管阻塞表现为下泪小管处造影中断,3只眼泪总管阻塞表现为结膜囊、洞小管可见显影,而泪囊内内管阻塞表现为泪小管、泪囊内可见显影鼻内管造影剂中断。由结果可见,临床可根据泪道显影情况判断阻塞位置。CT矢状位图像上,将鼻内管阻塞分为上段、中段、下段三个部分,其中42.86%),眼鼻内管上段阻塞(42.86%),









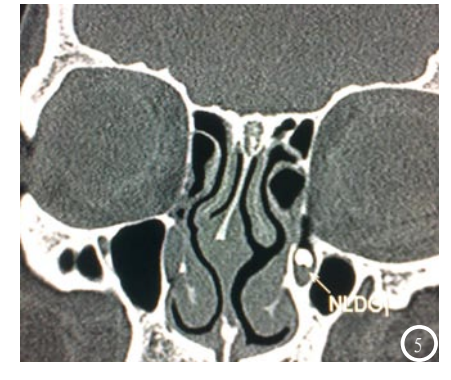




图1 冠状位正常泪道。图2 轴位泪小管阻塞。图3 冠状位泪小管阻塞。图4 冠状位鼻内管上端阻塞。图5 冠状位鼻内管中段阻塞。图6 冠状位鼻内管下段阻塞。图5 冠状位鼻内管中段阻塞。图6 冠状位鼻

40.0%鼻内管中段阻塞(40.0%),7.14%下段阻塞(17.14%)。国内研究表明,鼻内管上段和中段是泪道阻塞的高发部位<sup>[8]</sup>,与本组研究结果相符。

目前,临床尚无界定泪囊大 小的标准, 且受测量工具、测量 方法等的影响,测量结果也存在 差异。部分学者通过测量CT造影 图像中鼻甲前端附着起始部分平 面泪囊横径判断泪囊大小。我院 主要从轴位、冠状位、矢状位三 个角度测量泪囊的横径、前后径 等,并计算近似面积,发现慢性 内囊炎斜矢状位、轴位、斜冠状 位的泪囊近似面积显著高于正常 眼,差异显著(P<0.05)。但关于 慢性泪囊眼泪囊近似面积扩大的 原因尚不明确, 笔者认为受可能 与病理变化有关。经临床实践发 现,术前测量泪囊的大小可评估 手术难度程度和预后[9]。但本研 究还存在局限性: (1) 因试验条件

的限制,纳入研究对象还相对较少,还有待增加样本量;(2)未分析CT造影技术在泪道阻塞性疾病中指导情况,有待深入研究<sup>[10]</sup>。

综上所述,CT泪道造影能够 清楚显示泪道解剖结构,便于临 床明确泪道阻塞部位和泪囊扩张 情况,不仅可为临床选择合适治 疗方案提供资料,还能评估疾病 预后,具有广泛的应用前景。

### 参考文献

- [1] 沈晶, 李智勇, 伍建林等. 中鼻道恶性 黑色素瘤1例报告[J]. 中国CT和MRI 杂志, 2010, 08 (6): 72.
- [2] 张武. 眼眶淋巴管瘤的MRI诊断价值[J]. 中国CT和MRI杂志, 2015, 2(4): 20-23.
- [3] 李凤鸣. 中华眼科学[M]. 2版. 北京: 人民卫生出版社, 2005: 923-924
- [4] 黄胜. 泪道阻塞性疾病临床与实验研究进展及发展趋势[J]. 中国实用眼科杂志, 2012, 30(5): 504-509.

- [5] 王婷婷, 陶海, 韩毳等. CT 泪道逆行插管造影检查及其影响因素的初步研究[J]. 中华眼科杂志, 2014, 50 (10): 766-771.
- [6] 王朋, 陶海, 王贵生等. 外伤性泪囊炎 CT造影多平面重组的初步研究[J]. 武警医学. 2013. 24(5): 376-378.
- [7] 王婷婷,陶海.泪道CT检查的研究进展[J].眼科新进展,2012,32(4):397-400.
- [8] 唐玉容. 泪道阻塞性疾病诊治分析[J]. 重庆医学,2012,41(22):2252,2255.
- [9] 张诚玥,于刚,吴倩等.单侧先天性泪道阻塞骨性鼻泪管的CT泪囊造影研究[J].中华实验眼科杂志,2012,30(2):164-167.
- [10]于刚,张诚玥,崔燕辉等.CT 泪囊造影在儿童泪道疾病中 的应用价值[J].中华眼科杂志,2013,49(8):706-710.

(本文编辑: 汪兵)

【收稿日期】2015-09-06